

УДК 532.516+517.95

## ГИДРОДИНАМИКА С КВАДРАТИЧНЫМ ДАВЛЕНИЕМ.

## 2. ПРИМЕРЫ

А. П. Чупахин

Институт гидродинамики им. М. А. Лаврентьева СО РАН, 630090 Новосибирск

Исследованы точные решения уравнений Эйлера, описывающие движение идеальной несжимаемой жидкости с квадратичным давлением. Решения описываются явными формулами и допускают наглядную физическую интерпретацию. Изучена динамика шарового объема жидкости при различных специальных начальных полях скоростей. Показано, что при соответствующих начальных условиях шаровой объем может эволюционировать в тороподобное тело, изменяя связность области, занятой жидкостью.

**Введение.** Данная работа является продолжением работы [1], в которой изложен алгоритм интегрирования и указаны общие свойства решений уравнений Эйлера

$$D\mathbf{u} + \nabla p = 0, \quad \operatorname{div} \mathbf{u} = 0 \quad (1)$$

с квадратичным давлением

$$p = k(t)(x^2 + y^2 + z^2)/2. \quad (2)$$

В работе используются обозначения, принятые в [1].

При наличии у матрицы Якоби  $J = \partial\mathbf{u}/\partial\mathbf{x}$  собственного значения кратности два эллиптические функции времени, определяющие динамику движения, редуцируются к рациональным. Линейное уравнение Ламе, описывающее траектории жидких частиц, переходит в уравнение с рациональным потенциалом. Решения выписываются в элементарных функциях, но описывают нетривиальные движения жидкости. Задавая конкретные начальные поля скоростей  $\mathbf{u}_0 = \mathbf{u}_0(\mathbf{x}_0)$  такие, что матрица  $J_0 = \partial\mathbf{u}_0/\partial\mathbf{x}_0$  имеет постоянные алгебраические инварианты, причем  $\operatorname{tr} J_0 = 0$ , получим примеры точных решений уравнений Эйлера с давлением в виде (2). Общим для них является наличие особенности в движении — вырождения размерности области, занятой жидкостью.

**Интегрирование уравнений траекторий.** Пусть матрица Якоби  $J$  имеет двукратное собственное значение  $\lambda = \lambda(t)$  и в  $\mathbb{R}^3(\mathbf{x})$  существует базис из ее собственных векторов. Тогда, как показано в [1], имеем

$$\lambda_1 = \lambda_2 = \lambda = \lambda_0(1 + \lambda_0(t_0 - t))^{-1}, \quad \lambda_3 = -2\lambda, \quad (3)$$

где  $\lambda_0 = \lambda(t_0)$  — произвольное вещественное число. В этом случае

$$k = 2k_2/3 = -(1/3) \operatorname{tr} J^2 = -2\lambda^2.$$

Уравнения траекторий принимают вид

$$\frac{d^2\mathbf{x}}{dt^2} - \frac{2\lambda_0}{(1 + \lambda_0(t_0 - t))^2} \mathbf{x} = 0. \quad (4)$$

Фундаментальная система решений каждого уравнения системы (4) состоит из функций

$$q_1 = \tau^{-1}, \quad q_2 = \tau^2, \quad (5)$$

где  $\tau = 1 + \lambda_0(t_0 - t)$ . Вронскиан системы решений (5) есть константа  $W(t) = W_0 = -3$ . Общее решение уравнений (4) с начальными данными

$$\mathbf{x}|_{t=0} = \mathbf{x}_0, \quad \mathbf{u}|_{t=0} = \mathbf{u}_0(\mathbf{x}_0)$$

представляется в виде

$$\mathbf{x} = [\lambda_0(2q_1 + q_2)\mathbf{x}_0 + (q_1 - q_2)\mathbf{u}_0(\mathbf{x}_0)]/(3\lambda_0). \quad (6)$$

Для всех рассматриваемых решений давление имеет вид

$$p = p_0(t) - \lambda_0^2 \tau^{-2} r^2,$$

где  $p_0(t)$  — произвольная функция, так что  $p \geq 0$  во все моменты времени. Очевидно,  $p \rightarrow \infty$  при  $\tau \rightarrow 0$ .

Особыми точками решения линейной системы (4) являются особая точка коэффициентов (особенность собственного числа (3)) и бесконечно удаленная точка:  $\tau = 0, t = t_0 + \lambda_0^{-1}$  и  $\tau = \infty, t = \infty$ . Тогда решение (6) можно рассматривать на полуинтервалах

$$T_1: -\infty < t < t_0 + \lambda_0^{-1}, \quad T_2: t_0 + \lambda_0^{-1} < t < +\infty. \quad (7)$$

Рассмотрим несколько примеров решений, различающихся начальными полями скоростей  $\mathbf{u}_0 = \mathbf{u}_0(\mathbf{x}_0)$ .

**ПРИМЕР 1.** Начальное поле скоростей задается формулами

$$u_0 = -2x_0 + 3U(y_0, z_0), \quad v_0 = y_0, \quad w_0 = z_0 \quad (8)$$

с произвольной гладкой функцией  $U$  своих аргументов ( $\lambda_0 = 1$ ). Уравнения траекторий (6) для начальных данных (8) принимают вид

$$x = U\tau^{-1} + (x_0 - U)\tau^2, \quad y = \tau^{-1}y_0, \quad z = \tau^{-1}z_0, \quad (9)$$

где  $\tau = 1 + t_0 - t$ .

Движение каждой жидкой частицы происходит в плоскости

$$\Pi: z_0y - y_0z = 0 \quad (10)$$

и задается кривой третьего порядка

$$y^2x = y_0^{-1}Uy^3 + (x_0 - U)y_0^2. \quad (11)$$

Согласно классификации Ньютона кривых третьего порядка [2] кривая (11) относится к четвертой группе (гиперболизмы конических сечений). Особенностью кривых вида (11) является наличие на плоскости (10) двух асимптот:  $y = 0$  (двукратная) и  $y = y_0U^{-1}x$ . Задание функции  $U = U(y_0, z_0)$  определяет расположение кривой на плоскости и наклон асимптоты. Изменение функции  $U$  не меняет типа кривой.

Движение жидкости, описываемое в лагранжевых координатах формулами (9), имеет следующее представление в эйлеровых координатах:

$$u = 3\tau^{-2}U - 2\tau^{-1}x, \quad v = \tau^{-1}y, \quad w = \tau^{-1}z, \quad (12)$$

где  $U = U(y\tau, z\tau)$ .

Матрица Якоби поля скоростей (12) имеет вид

$$J = \begin{bmatrix} -2\tau^{-1} & -3\tau^{-1}U_1 & -3\tau^{-1}U_2 \\ 0 & \tau^{-1} & 0 \\ 0 & 0 & \tau^{-1} \end{bmatrix}, \quad (13)$$

где  $U_i$  ( $i = 1, 2$ ) — частные производные функции  $U$  по ее аргументам. Матрица  $J$  (13) имеет собственные значения  $\lambda_{1,2} = \tau^{-1}$ ,  $\lambda_3 = -2\tau^{-1}$ , логарифмические потенциалы собственных значений  $q_{1,2} = \tau^{-1}$ ,  $q_3 = \tau^2$ . Соответствующие правые собственные векторы могут быть выбраны следующими:

$$\mathbf{r}_1 = 3(-U_1U_2, U_2, 0)^T, \quad \mathbf{r}_2 = 3(U_1U_2, 0, -U_1)^T, \quad \mathbf{r}_3 = (1, 0, 0)^T,$$

где индекс  $t$  обозначает транспонирование вектора ( $\mathbf{r}_i$  — вектор-столбцы). В этом случае представление для вихря  $\boldsymbol{\omega}$  [1] имеет вид

$$\boldsymbol{\omega} = \tau^{-1}(\mathbf{r}_1 + \mathbf{r}_2) + 0 \cdot \tau^2 \mathbf{r}_3 = 3(0, \tau^{-1}U_2, -\tau^{-1}U_1)^T.$$

Объем жидкости, имеющей в начальный момент времени форму шара, ограниченного сферой  $x_0^2 + y_0^2 + z_0^2 = 1$ , эволюционирует со временем в объем, ограниченный поверхностью

$$\tau^2(y^2 + z^2) + (x - U\tau^{-1})^2\tau^{-4} + 2U(x - U\tau^{-1})\tau^{-2} + U^2 = 1,$$

где  $U = U(y\tau, z\tau) = U(y_0, z_0)$ .

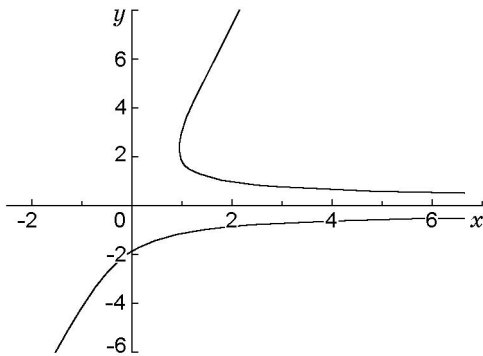


Рис. 1

На рис. 1, 2 показаны траектории (11) и динамика жидкого шара при  $U = \sin(y_0^2 + z_0^2)$  и  $t_0 = 0$ . На рис. 1 приведена траектория жидкой частицы в плоскости  $z_0 = 10$  при  $(x_0, y_0) = (1, 3)$ . Различные ветви кривой (11) соответствуют движению на полуинтервалах  $T_1$  и  $T_2$  вида (7). Поскольку  $y_0 > 0$ , верхняя ветвь кривой (11), на которой  $y > 0$ , соответствует значениям  $t < 1$ , нижняя, где  $y < 0$  — значениям  $t > 1$ . Этим ветвям соответствуют разные асимптотики движения: на верхней  $y \rightarrow +0$  при  $t \rightarrow -\infty$ , на нижней  $y \rightarrow -0$  при  $t \rightarrow +\infty$ .

На рис. 2 показана эволюция шарового объема при приближении к разным особым точкам:  $t \rightarrow 1$  (рис. 2, а, б) и  $t \rightarrow -\infty$  (рис. 2, в). Особенности движения являются потеря размерности и вырождение области. Характер вырождения различен. Так, при  $t \rightarrow 1$  происходит сплющивание шара в почти плоское многообразие, а при  $t \rightarrow \infty$  — вытягивание его в иглу. Подобные особенности обнаружены и исследованы Л. В. Овсянниковым в [3] для движения с линейным полем скоростей.

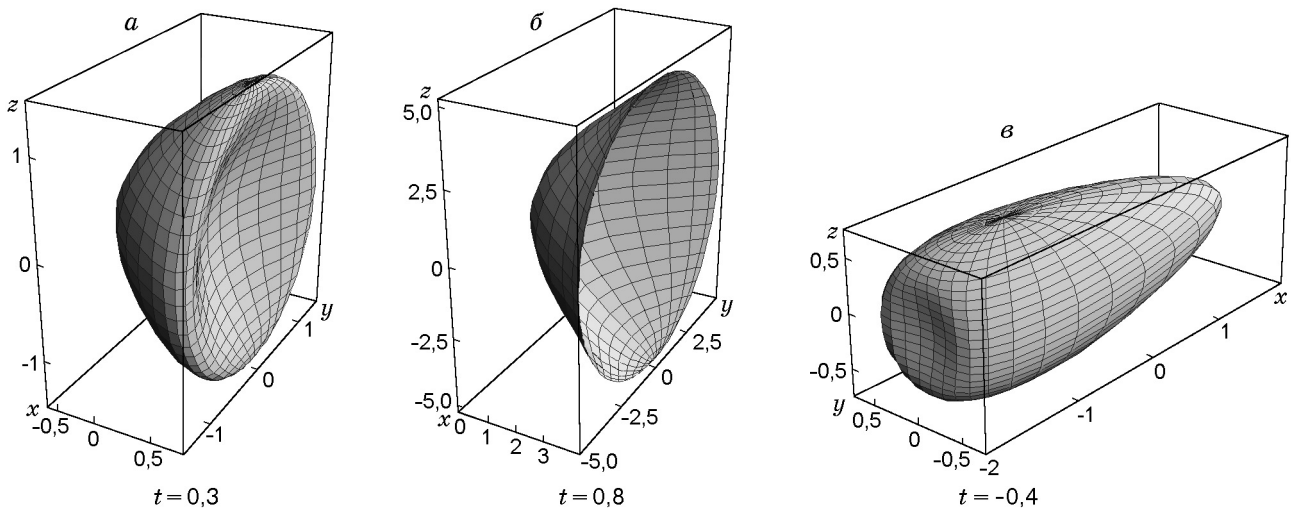


Рис. 2

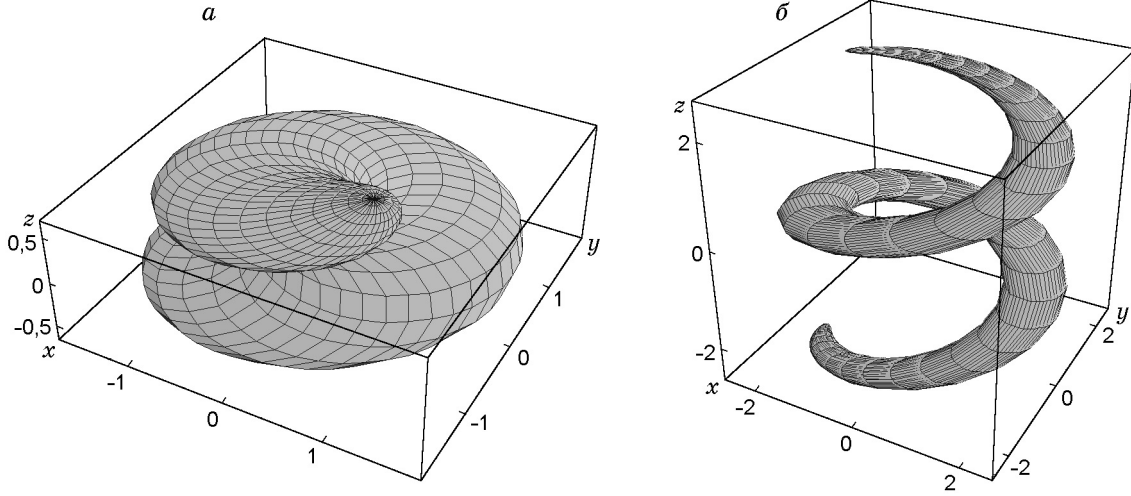


Рис. 3

ПРИМЕР 2. Начальное поле скоростей в декартовых координатах имеет вид

$$u_0 = x_0 + q_0 \cos(bz_0), \quad v_0 = y_0 - q_0 \sin(bz_0), \quad w_0 = -2z_0, \quad (14)$$

где  $q_0, b$  — произвольные вещественные параметры. Векторное поле (14) в цилиндрических координатах  $x_0 = r \cos \psi, y_0 = r \sin \psi$  имеет вид

$$V_{0c} = r + q_0 \cos(\psi + bz_0), \quad W_{0c} = -q_0 \sin(\psi + bz_0), \quad w_0 = -2z_0,$$

где  $V_{0c}, W_{0c}$  — радиальная и окружная компоненты вектора скорости. Для векторного поля (14)  $\lambda_0 = 1$ , так что  $\tau = 1 + t_0 - t$ . Уравнения траекторий (6) представляются соотношениями

$$x = \tau^{-1}x_0 + (q_0/3)(\tau^{-1} - \tau^2) \cos(bz_0), \quad y = \tau^{-1}y_0 + (q_0/3)(\tau^{-1} - \tau^2) \sin(bz_0), \quad z = \tau^2 z_0.$$

Плоскость  $\Pi$ , в которой движется жидкая частица с начальными данными  $(\mathbf{x}_0, \mathbf{u}_0(\mathbf{x}_0))$  вида (14), задается уравнением

$$(x - \tau^{-1}x_0) \sin(bz_0) - (y - \tau^{-1}y_0) \cos(bz_0) = 0,$$

в которое следует подставить  $\tau = |z/z_0|^{1/2}$  при  $z_0 \neq 0$ . Если  $z_0 = 0$ , то движение происходит в плоскости  $z = 0$ . Динамика частиц жидкости, занимавших при  $t_0 = 0$  шар, ограниченный сферой  $x_0^2 + y_0^2 + z_0^2 = a^2, a = \text{const}$ , описывается уравнениями

$$\begin{aligned} x &= a\tau^{-1} \sin \theta \cos \varphi + (q_0/3)(\tau^{-1} - \tau^2) \cos(ab \cos \theta), \\ y &= a\tau^{-1} \sin \theta \sin \varphi + (q_0/3)(\tau^{-1} - \tau^2) \sin(ab \cos \theta), \quad z = a\tau^2 \cos \theta, \end{aligned} \quad (15)$$

где стандартные сферические координаты  $a, \theta, \varphi$  ( $0 \leq \theta \leq \pi, 0 \leq \varphi \leq 2\pi$ ) задают границу области в каждый момент времени из полуинтервалов (7).

На рис. 3, *а, б* показана эволюция поверхности (15) в различные моменты времени при приближении к одной из особых точек:  $t \rightarrow 1$  и  $t \rightarrow -\infty$  соответственно. При этом  $a = 1, b = 6, q_0 = 3$ . На рис. 3, *а*  $t = 0,2$ , при  $t \rightarrow 1$  высота витка спирали стремится к нулю. На рис. 3, *б*  $t = -0,6$ , при  $t \rightarrow -\infty$  шар эволюционирует в дугу спирали, утончающуюся и разворачивающуюся в пространстве со временем. Объем указанных областей сохраняется в силу несжимаемости жидкости и равен объему исходного шара. В данном примере сингулярность движения также проявляется в вырождении размерности области.

ПРИМЕР 3. Начальное поле скоростей в декартовых координатах имеет вид

$$u_0 = x_0 - \sigma r^{-1} y_0 z_0, \quad v_0 = y_0 + \sigma r^{-1} x_0 z_0, \quad w_0 = -2z_0, \quad (16)$$

где  $r = \sqrt{x_0^2 + y_0^2}$ ;  $\sigma$  — вещественный параметр. В цилиндрических координатах  $x_0 = r \cos \psi$ ,  $y_0 = r \sin \psi$  векторное поле (16) принимает вид

$$V_{0c} = r, \quad W_{0c} = \sigma z_0, \quad w_0 = -2z_0, \quad (17)$$

где  $V_{0c}$ ,  $W_{0c}$  — радиальная и окружная компоненты вектора скорости в плоскости  $Ox_0y_0$ ;  $w_0$  — компонента вектора скорости вдоль оси  $Oz_0$ .

Уравнения траекторий (6) принимают вид

$$x = \tau^{-1}x_0 - \sigma(\tau^{-1} - \tau^2)z_0 \sin \psi, \quad y = \tau^{-1}y_0 + \sigma(\tau^{-1} - \tau^2)z_0 \cos \psi, \quad z = \tau^2 z_0. \quad (18)$$

Траектория жидкой частицы, стартующей при  $t_0 = 0$  из точки  $x_0$  со скоростью  $\mathbf{u}_0(x_0)$  (16), лежит в плоскости

$$(x - \tau^{-1}x_0) \cos \psi + (y - \tau^{-1}y_0) \sin \psi = 0. \quad (19)$$

В уравнение (19) нужно подставить  $\tau = |z/z_0|^{1/2}$ . Поверхность, состоящую из траекторий жидких частиц, можно построить следующим образом. Исключив из соотношений (18) величину  $\tau$ , получим уравнение

$$(x - |z_0/z|^{1/2}x_0)^2 + (y - |z_0/z|^{1/2}y_0)^2 = \sigma^2 z_0^2 (|z_0/z|^{1/2} - z/z_0)^2. \quad (20)$$

Соотношение (20) задает в  $\mathbb{R}^3(\mathbf{x})$  поверхность вращения, ось которой проходит через точки  $O(0, 0, 0)$  и  $P_0(x_0, y_0, z_0)$ , а расстояние от образующей поверхности до оси  $R(z) = \sigma|z_0| \left| |z/z_0|^{1/2} - z/z_0 \right|$ . Траектория жидкой частицы получается при пересечении поверхности (20) плоскостью (19). Особенности этой поверхности (как следует из уравнения (20)) являются вырождение в точку оси при  $z = z_0$ ; сужение (горловина) при  $|z/z_0|^{1/2} = -\sqrt[3]{2}$ ; асимптотическое приближение к плоскости  $z = 0$ , расплывание по ней с двух сторон при  $z \rightarrow \pm 0$  (уплощение).

Рассмотрим динамику жидкого шара, ограниченного при  $t_0 = 0$  сферой  $x_0^2 + y_0^2 + z_0^2 = a^2$ . Введем на сфере радиуса  $a$  координаты  $\theta$ ,  $\varphi$ , тогда эволюция жидких частиц шара будет задаваться уравнениями

$$\begin{aligned} x &= a[\tau^{-1} \sin \theta \cos \varphi + (\sigma/3)(\tau^{-1} - \tau^2) \cos \theta \sin \varphi], \\ y &= a[\tau^{-1} \sin \theta \sin \varphi + (\sigma/3)(\tau^{-1} - \tau^2) \cos \theta \cos \varphi], \quad z = a\tau^2 \cos \theta. \end{aligned} \quad (21)$$

Ввиду линейной зависимости координат (21) от радиуса  $a$  движение жидких частиц происходит послойно. Все точки жидкого шара, кроме лежащих на оси  $Oz_0$ , имеют ненулевую радиальную и окружную компоненты вектора скорости. Частицы, лежащие на оси  $Oz_0$ , движутся вдоль нее в направлении к центру шара. Вихрь начального поля скоростей (17) имеет вид (также в цилиндрических координатах)  $\boldsymbol{\omega}_0 = (-\sigma, 0, \sigma r^{-1} z_0)$ , так что  $\omega^3$  обращается в бесконечность на оси шара. Такая особенность начального поля скоростей приводит к нарушению связности области в процессе движения. Легко показать, что уравнения (21) в любой момент времени описывают тороподобное тело, имеющее внутреннюю полость.

Следствием соотношений (21) является уравнение границы в виде

$$\tau^2(x^2 + y^2) + \tau^{-4}b(\tau)z^2 = a^2, \quad (22)$$

где  $b(\tau) = 1 - (\sigma^2/9)(1 - \tau^3)^2$ . Из уравнения (22) следует, что тороподобная поверхность эволюционирует, представляя собой в различные моменты времени эллипсоид с полостью ( $b > 0$ ), полую цилиндрическую оболочку ( $b = 0$ ), оболочку в виде однополостного гиперболоида ( $b < 0$ ).

На рис. 4 показана эволюция шара при приближении к особой точке  $t = 1$  в моменты времени  $t = 0,2$  (рис. 4,а) и  $t = 0,6$  (рис. 4,б). На рис. 5 представлены различные этапы

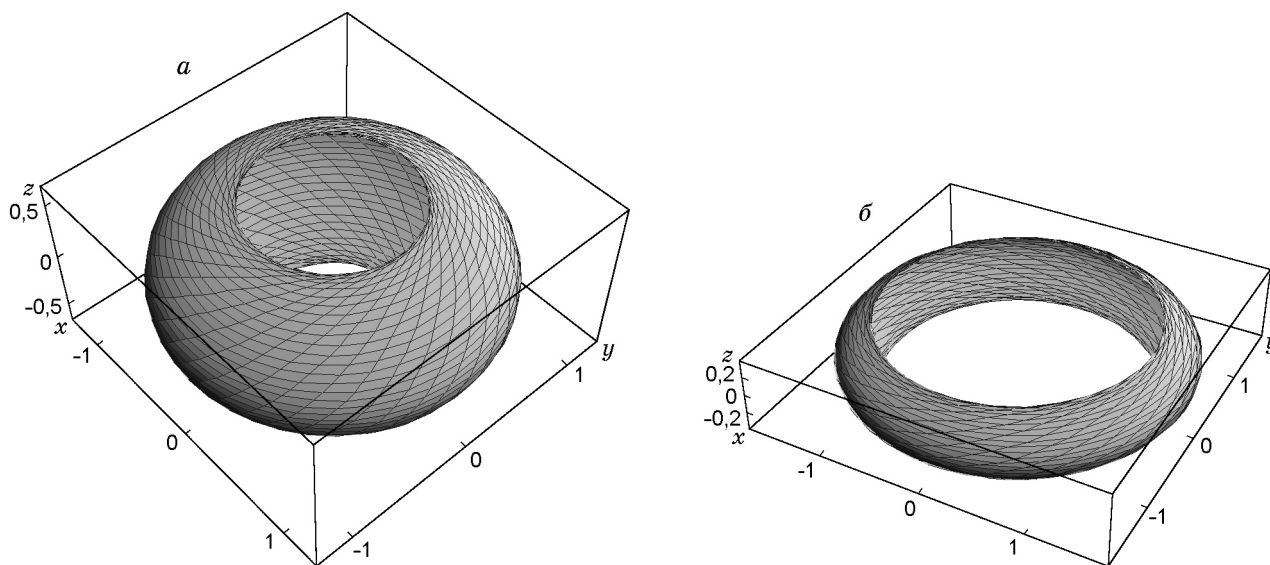


Рис. 4

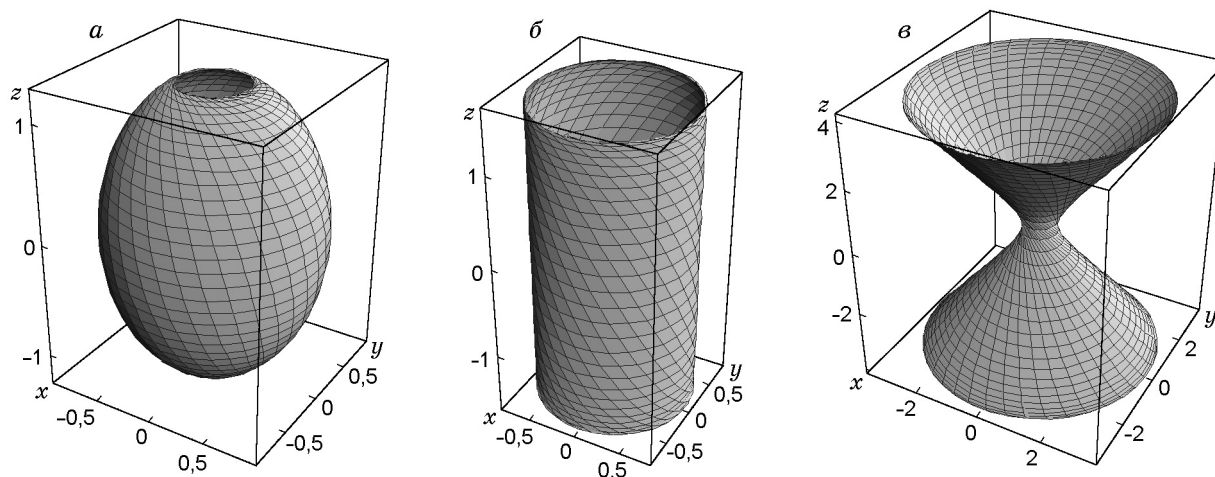


Рис. 5

динамики шара при  $t < 0$ : эллипсоид при  $t = -0,1$  (рис. 5,а), цилиндрическая оболочка при  $t = 1 - \sqrt[3]{2}$  (рис. 5,б), гиперboloид при  $t = -0,4$  (рис. 5,в). Особенности движения являются вырождение размерности области, занятой жидкостью, и уплощение шара со временем. Как и в предыдущих примерах, объем области со временем не меняется.

Вопрос о реализуемости подобных решений связан с вопросом о границах применимости модели идеальной несжимаемой жидкости.

**Выводы.** Решения уравнений Эйлера (1) с квадратичным давлением в виде (2) в случае кратного собственного значения матрицы  $J = \partial \mathbf{u} / \partial \mathbf{x}$  образуют широкий класс, описываемый простыми формулами и характеризующийся нетривиальной геометрией и физикой движения. Такие движения всегда имеют сингулярность, которая выражается в уплощении или вытягивании области, занятой жидкостью.

Приведены примеры эволюции объема жидкости, имеющего в начальный момент времени форму шара. Указано начальное поле скоростей, при котором в процессе движения нарушается связность области.

## ЛИТЕРАТУРА

1. **Чупахин А. П.** Гидродинамика с квадратичным давлением. 1. Общие результаты // ПМТФ. 2002. Т. 43, № 1. С. 27–35.
2. **Савелов А. А.** Плоские кривые. М.: Физматгиз, 1960.
3. **Овсянников Л. В.** Общие уравнения и примеры // Задача о неустановившемся движении жидкости со свободной границей. Новосибирск: Ин-т гидродинамики СО АН СССР, 1967. С. 5–75.

*Поступила в редакцию 25/V 2001 г.*

---